Fe(Ⅲ)、Co(Ⅱ)、Ni(Ⅱ)、Cu(Ⅱ)-ジスルファンニトリル錯体の合成、構造および性質

日大生産工 (院)〇菅野 美保子日大生産工藤井 孝宜・平田 光男

# 【序】

今日までに様々なキレート環化合物が合成されており、特に 5 員、6 員キレート環錯体は安定であるため、現在までに多数の報告がなされている。しかし、8~11 員環 (中員環) 錯体は非常に不安定であるため詳細な報告は僅かである10。

最近我々は、両端に硫黄窒素三重結合を有する Ph<sub>2</sub>S(=N-(Ph<sub>2</sub>)S=N)<sub>2</sub> 1 の合成に成功し<sup>2)</sup>、その分子構造や反応性について検討してきた。その特徴として、化合物 1 の末端窒素に求核性を有することを見出した。今回、化合物 1 の両端窒素原子の配位能を明らかにするため、遷移金属 Fe(III)、Co(II)、Ni(II)、Cu(II)の塩化物との錯形成反応を試みた。その結果、8 員環を有する金属錯体が得られ、各錯体の分子構造を X 線構造解析により明らかにした。

#### 【実験】

## 錯体合成

既知の方法で合成した配位子 1 と各種金属 塩化物 ( $MCl_2$  (M=Co、Ni、Cu) および  $FeCl_3$ ) とをメタノール中、種々のモル比で反応させ た。溶媒濃縮後、メタノール/エーテルまたは 塩化メチレン/エーテルで再結晶することに より、各種金属錯体( $[MCl_2\cdot 1]$ 、 $[M\cdot 1_2][2Cl]$ 、  $[FeCl_2\cdot 1][Cl]$ および $[FeCl\cdot 1_2][2Cl]$ )が得られた (Figure 1)。

## 単結晶 X 線構造解析

各金属錯体の X 線回折測定は Rigaku 製 RAXIS-RAPID を用いて測定し、構造解析は SHELXL-97 プログラムを用いて行った。

#### 【結果と考察】

配位子1と各種金属塩化物 (MCl<sub>2</sub>、M=Co、 Ni、Cu および FeCl<sub>3</sub>) とをメタノール中、種々 のモル比で反応させたところ、それぞれ対応 する金属錯体が得られた。各金属錯体の単結 晶を X線回折で測定した結果、いずれの錯体 においても、配位子1の2つの末端窒素原子 が金属に配位した8員キレート環を形成して いることが明らかとなった。各構造の模式図 を Figure 1 に、主な結合長、結合角を Table 1 に示した。金属を中心とした構造は、1分子 の配位子 1 が金属に配位した[ $MCl_2 \cdot 1$ ] (M=Co、Ni、Cu) および[FeCl<sub>2</sub>·1][Cl]が四面体構 造Aであった。構造Aの2つの塩素が化合物 1 に置き換わった $[M \cdot 1_2][2CI]$ 錯体(M = Co、 Ni、Cu) においては、Co 錯体が四面体 B、 Ni および Cu 錯体が平面四角形 C を示した。 また、[FeCl·1<sub>2</sub>][2Cl]錯体は、2分子の化合物1 と塩素がFe原子に配位した三方両錘形構造D を形成していた。

構造 A はいずれも四面体部位が歪んでおり、この歪みは末端窒素と塩素間のローンペア反発によるものと示唆される。逆に構造 B、C および D は、塩素から配位子 1 に交換したことにより、塩素-窒素のローンペア反発が減少

し、各金属が形成しやすい混成軌道によって、 Ni、Cu は四配位平面四角形、Co は四配位四 面体、Fe は五配位三方両錘形を形成したと考 えられる。

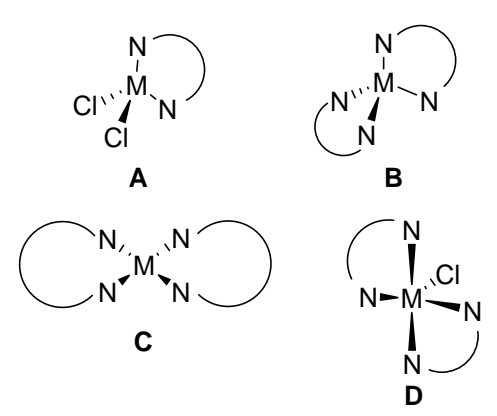


Figure 1. Structural representation of complexes.

各[MCl<sub>2</sub>·1]錯体と[FeCl<sub>2</sub>·1][2Cl](構造 A) の結合角および結合長を比較検討したところ、 Fe(Ⅲ)錯体の構造は特異的であることが分か った。Fe(Ⅲ)錯体の N-Fe-N 結合角が 106.02(12)°と他の金属錯体に比べ大きく(Co: 99.13(8)°、Ni:97.81(6)°およびCu:96.25(6)°)、 N-Fe-Cl 結合角は最も小さい値 105.92(9)°を示 した。結合長を比較すると、Fe-N 結合長は 1.916(3) Å、Fe-Cl 結合長が 2.1898(13) Åと他の M-Nまたは Cl 結合長よりも短くなっていた。 逆に、S-N 結合長は 1.483(3) Åと長くなってい た。これらの理由として、Fe(Ⅲ)が Co、Ni、 Cu よりも電気陽性度が大きいことがあげら れる。電気陽性度が大きくなったことにより、 窒素のローンペアと Fe の相互作用が大きく なり Cl-N 間のローンペア反発は小さくなっ ていることが示唆される。

#### 【まとめ】

配位子 1 を用いて各種金属との反応を試みたところ、反応比によってそれぞれ対応する金属錯体が得られ、その構造を X 線構造解析によって明らかにした。その結果、配位子 1 の末端窒素が金属に配位した 8 員キレート環を形成していることがわかった。

Table 1. Selected bond lengths [Å] and angles [°] for [MCl2  $\cdot$  1] and [MCl2  $\cdot$  1][Cl] (M=Co, Ni, Cu, Fe)

	[Co(1) <sub>2</sub> ][2Cl]	[Ni(1) <sub>2</sub> ][2Cl]
Bond distance (Å)	Co1-N1 1.983(3)	Ni1-N1 1.9165(14)
	Co1-N4 1.956(3)	Ni1-N4 1.9201(14)
	S1-N1 1.461(3)	S1-N1 1.4717(14)
	S3-N4 1.459(3)	S3-N4 1.4792(14)
Bond angle (degree)	N1-Co1-N4 105.88(13)	N1-Ni1-N1* 80.00(8)
	N1-Co1-N5 107.49(13)	N1-Ni1-N4 92.20(6)
	N1-Co1-N8 103.10(13)	N1-Ni1-N4* 87.80(6)
	N4-Co1-N5 113.90(13)	N1*-Ni1-N4 87.80(6)
	S1-N1-Co1 136.25(4)	S1-N1-Ni1 130.65(9)
	S3-N4-Co1 140.04(2)	S3-N4-Ni1 124.24(9)
	N1-S1-N2 123.15(18)	N1-S1-N2 121.38(8)
	N1-S1-C1 115.93(18)	N1-S1-C1 119.52(8)
	N1-S1-C2 111.12(18)	N1-S1-C2 110.76(8)
	N3-S3-N4 123.52(18)	N3-S3-N4 124.93(8)
	N4-S3-C5 110.98(18)	N4-S3-C5 111.57(8)
	N4-S3-C6 116.02(19)	N4-S3-C6 116.41(8)
	$[Cu(1)_2][2Cl]$	$[FeCl(1)_2][2Cl]$
Bond distance (Å)	Cu1-N1 1.984(3)	Fe1-N1 2.094(2)
	Cu1-N4 1.984(3)	Fe1-N4 1.9901(19)
	S1-N1 1.468(3)	S1-N1 1.469(2)
	S3-N4 1.470(3)	S3-N4 1.478(19)
Bond angle (degree)	N1-Cu1-N1* 180.00(18)	N1-Fe1-N4 90.04(8)
	N1-Cu1-N4 88.32(11)	N1-Fe1-N5 89.82(8)
	N1-Cu1-N4* 91.68(11)	N1-Fe1-N8 177.16(9)
	N1*-Cu1-N4 91.68(11)	N4-Fe1-N5 128.07(9)
	S1-N1-Cu1 125.16(18)	N1-Fe1-Cl1 90.24(6)
	S2-N4-Cu1 125.36(17)	N4-Fe1-Cl1 116.79(6)
	N1-S1-N2 120.63(15)	N5-Fe1-Cl1 115.13(6)
	N1-S1-C1 113.3(3)	N8-Fe1-Cl1 92.51(6)
	N1-S1-C2 112.68(17)	S1-N1-Fe1 128.88(12)
	N3-S2-N4 123.95(14)	S3-N4-Fe1 132.11(13)
	N4-S2-C5 112.11(16)	N1-S1-N2 121.85(10)
	N4-S2-C6 116.34(16)	N3-S3-N4 120.79(10)
		N1-S1-C1 115.63(12)
		N1-S1-C2 112.14(12)
		274 62 65 440 04/40
		N4-S3-C5 110.81(12)

## 【参考文献】

- 1) H. Ogino, J. Coord. Chem., 15, 187 (1987)
- 2) T. Fujii, M. Kanno, M. Hirata, T. Fujimori, T. Yoshimura, *Inorg. Chem.* **44**, 8653 (2005)